

Hibacsomó-javítás hardware megvalósítása ciklikus Reed-Solomon-kódok segítségével

ETO 681.3.041.5

Modern digitális hírközlő rendszerekben egyetlen elemi jel rendszerint egy bitnél több információt hordoz. Ezért a jelenlegi gyakorlatban elterjedt bináris hibajavító kódok, amelyekben a kódszó elemei bináris szimbólumok, nem túlzottan hatékonyak. Úgy tűnik, hogy többszintű ciklikus kódok előnyösen alkalmazhatók nagy sebességű bonyolult adatátviteli összeköttetésekben (4800, 9600 bit/s és e fölött), mágnesszalagos tároló rendszerekben stb. Ezekben a rendszerekben a hibacsomók dominálnak, és olyan kódok szükségesek, amelyek hibacsomókat képesek javítani. Szerencsére a hibacsomó-javító ciklikus kódok meglehetősen egyszerűen megvalósíthatók. Különösen a ciklikus Reed-Solomon-kódoknak van jó hibacsomó-javító képessége. Minden RS (Reed-Solomon)-kód egyúttal maximális, azaz az adott redundancia mellett a minimális Hamming-távolsága maximális. Ez a kód optimális a Reiger-korlát értelmében, ezért igen alkalmas hibacsomók javítására.

1. Ciklikus RS-kódok

Matematikai szempontból az RS-kód, mint minden ciklikus kód, ideál a $GF(q)$ test feletti, $(x^n - 1)$ módulusú polinom-algebrában. A kód generátor-polinómja:

$$g(x) = \prod_{i=1}^{d-1} (x - \alpha^i) = x^r + \sum_{i=1}^r g_{r-i} x^{r-i}, \quad (1.1)$$

ahol

d – azon kód minimális Hamming-távolsága, amelyet az (1.1) polinom generál,

α – a $GF(q)$ primitív eleme,

$GF(q)$ – a kompozit véges Galois-test

és

$$g_i \in GF(q), g_i \neq 0, i = 0, 1, \dots, r-1.$$

A kompozit megjelölés azt jelenti, hogy a testnek $q = p^n$ eleme van (ahol p prímszám), és $p^n > 2$. Az (1.1) polinom által generált kód ciklikus (n, k) kód, amelyre:

$$\begin{aligned} \text{a kód hossza:} & n = q - 1, \\ \text{az információs elemek száma:} & k = n - r, \\ \text{a redundáns elemek száma:} & r = n - k = d - 1, \\ \text{a minimális Hamming-távolság:} & d = r + 1. \end{aligned}$$

Minden V kódszó tekinthető egy $GF(q)$ feletti n -dimenziós vektornak:

$$V = [v_0, v_1, \dots, v_{n-1}]. \quad (1.2)$$

Az (1.2) vektorhoz kölcsönösen egyértelműen hoz-

zárendelhető egy legfeljebb $n-1$ -ed fokú, $GF(q)$ feletti polinom:

$$v(x) = \sum_{i=1}^n v_{n-i} x^{n-i}. \quad (1.3)$$

Gyakorlati okokból szisztematikusra van szükség, azaz a v_0, v_1, \dots, v_{r-1} pozíciók a redundáns elemek, míg $v_r, v_{r+1}, \dots, v_{n-1}$ az információs elemek.

2. A kódolási eljárás

Jelölje

$$f_i(x) = \sum_{i=1}^k f_{n-i} \cdot x^{n-i} \quad (2.1)$$

az információs polinómot, amellyel ekvivalens vektor:

$$F_i = [f_r, f_{r+1}, \dots, f_{n-1}]. \quad (2.2)$$

A (2.2) vektor komponensei az információs szimbólumok, amelyeket kódolni kell. A kódolási eljárás a kódvektor redundáns részének

$$F_r = [f_0, f_1, \dots, f_{r-1}] \text{-nek a} \quad (2.3)$$

kiszámítását jelenti. Ez a következőképpen végezhető el:

$$f_r(x) = -R_g[f_i(x)] = \sum_{i=1}^r f_{r-i} \cdot x^{r-i}, \quad (2.4)$$

ahol $R_g[y]$ y -nak a $g(x)$ polinommal való osztás során kapott maradéka. A teljes polinom:

$$f(x) = f_i(x) + f_r(x) = \sum_{i=1}^n f_{n-i} \cdot x^{n-i} \quad (2.5)$$

természetesen kódpolinom, hiszen többszöröse a $g(x)$ generátorpolinomnak. Így a kódvektor a következő:

$$F = [f_0, f_1, \dots, f_{n-1}]. \quad (2.6)$$

Egy másik kódolási eljárás az

$$R = (-1) \begin{bmatrix} R_{n-1} \\ R_{n-2} \\ \vdots \\ R_r \end{bmatrix}, \quad (2.7)$$

$k \cdot r$ dimenziós mátrixot használja fel, ahol a mátrix sorvektorai:

$$R_{n-j} = [r_{n-j,0}, r_{n-j,1}, \dots, r_{n-j,r-1}] \quad (2.8)$$

az

$$r_{n-j}(x) = R_g[x^{n-j}] = \sum_{i=1}^r r_{n-j,r-i} \cdot x^{r-i} \quad (2.9)$$

összefüggésből számíthatók. Most a redundáns vektor az F , k -dimenziós sorvektor és az R mátrix szorzatával egyenlő:

$$F_r = F_r \cdot R, \quad (2.10)$$

Az R mátrix transzponáltja $r \cdot k$ mátrix:

$$R^T = (-1) \begin{bmatrix} H_1 \\ H_2 \\ \vdots \\ H_r \end{bmatrix}, \quad (2.11)$$

ahol

$$H_i = [h_{i,0}, h_{i,1}, \dots, h_{i,k-1}] \quad (2.12)$$

és

$$h_i(x) = R_{ri} x^{k-1+i}. \quad (2.13)$$

Az előbbiekhöz hasonlóan $R_h[y]$ y -nak a $h(x)$ -szel való osztás utáni maradékát jelöli. $h(x)$ -et paritás-polinomnak nevezik:

$$h(x) = (x^n - 1)/g(x).$$

3. A dekódolási eljárás

A következő eljárás $\left\lfloor \frac{d-1}{2} \right\rfloor$ számú ($\lfloor \cdot \rfloor$ = entier függvény) véletlen hiba javítására szolgál feltéve, hogy a hibák a kódvektor $r = n - k$ terjedelmű részében helyezkednek el. A kódvektor 0-adik és $(n-1)$ -edik pozíciója a kód ciklikus természete miatt szomszédos.

Jelölje R a vett kódvektort és $r(x)$ az ennek megfelelő polinomot. A vett vektor (polinom) a kódvektor (polinom) és a hibavektor (polinom) összege:

$$R = V + E = [r_0, r_1, \dots, r_{n-1}],$$

ahol

$V = (v_0, v_1, \dots, v_{n-1})$ adott kódvektor,

$E = (e_0, e_1, \dots, e_{n-1})$ hibavektor.

Tehát

$$r(x) = v(x) + e(x) = \sum_{i=1}^n r_{n-i} \cdot x^{n-i}$$

a vett polinom, és

$$e(x) = \sum_{i=1}^n e_{n-i} \cdot x^{n-i}$$

a hibapolinom.

A hibapolinomnak megkülönböztethetjük az információs szimbólumokat $e_i(x)$, illetve a redundáns szimbólumokat $e_p(x)$ értintő részeit:

$$e(x) = e_i(x) + e_p(x). \quad (3.1)$$

A hatékony dekódolási eljárás lehetővé teszi $e(x)$ meghatározását. A dekódolás során elsősorban a vett vektor szindrómájára van szükség:

$$S = [s_0, s_1, \dots, s_{r-1}]. \quad (3.2)$$

A szindrómapolinom

$$s(x) = R_g[r(x)] = R_g[e_i(x)] + e_p(x) = \sum_{i=1}^r s_{r-i} \cdot x^{r-i}, \quad (3.3)$$

mert

$$R_g[v(x)] = 0 \quad \text{és} \quad R_g[e_p(x)] = e_p(x).$$

Ezután megvizsgáljuk a szindrómavektor

$$w(S) \quad (3.4)$$

Hamming-súlyát, vagyis a nem nulla elemek számát. Három esetet különböztethetünk meg [2]:

1. Ha $t = \left\lfloor \frac{d-1}{2} \right\rfloor$ -nél nincs több hiba a vett vektorban, és a hibák csak a redundáns részben helyezkednek el, akkor a szindrómavektor Hamming-súlya:

$$w(S) \leq t, \quad (3.5)$$

és

$$e(x) = e_p(x) = s(x). \quad (3.6)$$

2. Ha t -nél nem több hiba következik be az információs pozíciókban (és csak ott), akkor

$$e(x) = e_i(x), \quad (3.7)$$

$$s(x) = R_g[e_i(x)]. \quad (3.8)$$

Ez azt jelenti, hogy

$$e(x) - R_g[e_i(x)] = e_i(x) - s(x) \quad (3.9)$$

kódpolinom, és így nem nulla elemeinek száma $(2t+1)$ -nél nem lehet kevesebb [3]. Ezért 1, 2, ..., t információs szimbólumhiba esetén $s(x)$ nem nulla elemeinek száma nem lehet kevesebb, mint $2t$, $2t-1$, ..., $t+1$.

3. Ha összesen nincs t -nél több hiba, és a redundáns részben bekövetkezett hibák száma z , akkor az információs pozíciókban legfeljebb $t-z$ hiba következett be. Ezek az információs részben levő hibák $t+z+1$ nem nulla elemet okozhatnak $s(x)$ -ben. Ez a szám legfeljebb z -vel változhat a hibás redundáns pozíciók hatására.

Így ha a vett vektorban a hibák száma nem több t -nél, akkor

$$w(S) \leq t+1. \quad (3.10)$$

Tehát a (3.4) szindróma Hamming-súlya alapján t vagy kevesebb hibát kijavíthatunk, ha a hibák a kódszó paritásrészében következtek be. (3.2)-t kivonva a vett vektorból kapjuk a javított vett vektort:

$$U = R - S = [r_0 - s_0, r_1 - s_1, \dots, r_{r-1} - s_{r-1}, r_r, \dots, r_{n-1}], \quad (3.11)$$

A 2. és 3. esetben a hibák javítása érdekében minden információs pozíciót át kell tolni a redundáns részbe.

Így

$$r_a(x) = x^a \cdot r(x) \text{ mod } (x^n - 1) = \sum_{i=1}^n r_{N-i} \cdot x^{n-i}, \quad (3.12)$$

ahol $N = n - a - i \text{ mod } (n)$. A (3.12) polinomnak megfelelő vektor:

$$R_a = [r_{n-a}, \dots, r_0, r_1, \dots, r_{n-a-2}, r_{n-a-1}]. \quad (3.13)$$

Ez a vektor a vett vektorból a számú ciklikus balra léptetéssel kapható. (3.13) szindrómája.

$$s_a(x) = R_g[r_a(x)], \quad S_a = [s_0^a, s_1^a, \dots, s_{r-1}^a]. \quad (3.14)$$

Ezért, ha a szindróma súlya t -nél nagyobb, meg kell határozni $s_a(x)$ -et $a = 1, 2, \dots, k$ esetére. Ha valamilyen $m \leq k$ -ra fennáll, hogy:

$$w(S_m) \leq t, \quad S_m = [s_0^m, s_1^m, \dots, s_{r-1}^m], \quad (3.15)$$

akkor a hibajavítás a következőképpen végezhető el:

$$U_m = R_m - S_m = [r_{n-m}, \dots, r_{n-m-1}] - [s_0^m, \dots, s_{r-1}^m, 0, \dots, 0]. \quad (3.16)$$

A dekódolási eljárás utolsó lépése a (3.16) vektor $n-m$ helyre való jobbra léptetése, és a következő javított vektor (polinom) képzése:

$$u(x) = x^{n-m} \cdot u_m(x) \pmod{(x^n - 1)}. \quad (3.17)$$

Ha a (3.15) feltétel egyetlen $a = 1, 2, \dots, k$ esetére sem teljesül, ez azt jelenti, hogy a hibák nem tolhatók be a paritás pozíciókba, vagy pedig legalább $t+1$ hiba következett be.

4. Műveletek GF(q)-ban

Hogy a kódolási és dekódolási eljárásokat elvégezhessük, ismernünk kell a GF(q)-ban értelmezett aritmetikai műveletek végrehajtási módját.

Abban az esetben, ha $q = p$, ahol $p =$ tetszőleges prímszám, a GF(p) műveletek a jól ismert modulo (p) aritmetikai műveletek. A feladat jóval bonyolultabb, ha $q = p^n$ valamilyen hatványa.

Legyen $q = p^n$, $n =$ egész szám, akkor GF(q) multiplikatív csoportja [GF(q) minden nem nulla eleme] előállítható GF(q) primitív elemeinek hatványaként:

$$\alpha^i = [a_{i,0}, a_{i,1}, \dots, a_{i,n-1}], \quad (4.1)$$

ahol

$$x^i \equiv \sum_{j=0}^{n-1} a_{i,j} x^j \pmod{p(x)}, \quad (4.2)$$

és

$$p(x) = x^n + \sum_{i=1}^{n-1} p_{n-i} x^{n-i}. \quad (4.3)$$

Ez GF(q) felett primitív, n-ed fokú polinom.

A legegyszerűbb módszer a GF(q)-beli műveletek elvégzésére az összes $q-1$ vektor (4.1) kiszámítása. Ekkor, mivel α rendje $q-1$, a szorzás szabálya a következő:

$$\alpha^i \cdot \alpha^k = \alpha^{i+k} \pmod{(q-1)}. \quad (4.4)$$

Az összeadás művelete a következőképpen végezhető el:

$$\alpha^k + \alpha^s = [(a_{k,0} + a_{s,0})_p, \dots, (a_{k,n-1} + a_{s,n-1})_p], \quad (4.5)$$

ahol $(x+y)_p$ a mod p összeadást jelöli.

Vegyük észre, hogy a (4.1) vektor $a_{i,0}$ elemei a következő lineáris rekurzív relációból is kiszámíthatók:

$$a_{i,0} = - \sum_{j=0}^{n-1} p_j \cdot a_{i-j-n,0}, \quad i = n, n+1, \dots, q-2, \quad (4.6)$$

ahol $a_{i,0}$ az α^i vektor első eleme és a p_j -k a 4.3 polinom együtthatói.

(3.8)-ba behelyettesítve az $a_{0,0} = 1, a_{1,0} = \dots, = a_{n-1,0}$ kezdőértékeket, kiszámíthatjuk a (4.6) összefüggés által generált sorozat periódusát:

$$a_{0,0}, a_{1,0}, \dots, a_{n-1,0}, \dots, a_{q-2}. \quad (4.7)$$

Ezután kereséssel megállapítható, hogy GF(q) tetszőleges nem nulla α^i eleméhez található-e olyan $m(j)$, amelyre teljesül, hogy

$$a_{i,j} = a_{x,0}, \quad i = 1, 2, \dots, q-2, \quad j = 1, 2, \dots, n-1, \quad (4.8)$$

ahol $x = i + m(j) \pmod{(q-1)}$. Ez jelentősen egyszerűsíti GF(q) multiplikatív csoportjának kiszámítását. *1. példa:* műveletek hardware megvalósítása GF(16) ban

GF(16) multiplikatív csoportja az

$$\alpha^i = [a_{i,0}, a_{i,1}, a_{i,2}, a_{i,3}], \quad i = 0, 1, \dots, 14$$

vektorok halmazával ábrázolható, ahol

$$x^i \equiv a_{i,0} + a_{i,1}x + a_{i,2}x^2 + a_{i,3}x^3 \pmod{p(x)},$$

és $p(x) = x^4 + x + 1$ egy negyedfokú primitív polinom GF(2) felett.

Mivel $i < 4$ -re $x^i \pmod{p(x)}$ azonos x^i -vel:

$$a_{i,i} = 1, \quad a_{i,j} = 0, \quad \text{ha } i \neq j, \quad i, j < 4.$$

Az $x^4 + x + 1$ polinommal meghatározott rekurzív reláció:

$$a_{i,0} = a_{i-4,0} + a_{i-3,0} \pmod{2}, \quad i = 4, 5, \dots, 14,$$

így az ezen reláció által generált sorozat egy periódusa, ha $a_{0,0} = 1, a_{1,0} = a_{2,0} = a_{3,0} = 0$:

$$100010011010111.$$

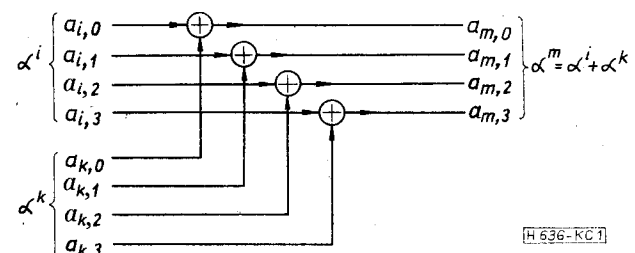
Észrevehetjük, hogy

$$a_{i,j} = a_{x,0}, \quad x \equiv i + 3 - j \pmod{15}, \\ i = 0, 1, \dots, 14, \quad j = 0, 1, 2, 3.$$

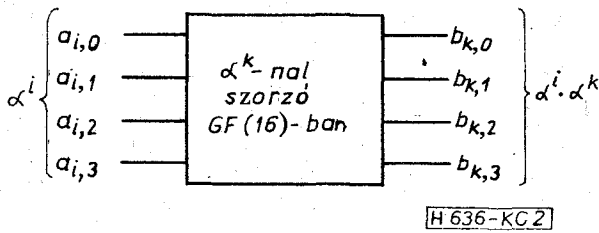
Így GF(16) minden nem nulla elemét egyszerűen felírhatjuk:

$$\begin{aligned} 1 &= \alpha^0 - 1000 & \alpha^5 &= 0110 & \alpha^{10} &= 1110 \\ \alpha &= 0100 & \alpha^6 &= 0011 & \alpha^{11} &= 0111 \\ \alpha^2 &= 0010 & \alpha^7 &= 1101 & \alpha^{12} &= 1111 \\ \alpha^3 &= 0001 & \alpha^8 &= 1010 & \alpha^{13} &= 1011 \\ \alpha^4 &= 1100 & \alpha^9 &= 0101 & \alpha^{14} &= 1001. \end{aligned}$$

Mivel GF(16) karakterisztikája 2, az összeadás megegyezik a kivonással. A GF(16) feletti összeadót az 1. ábra mutatja.



1. ábra. Összeadó GF(16) -ban



2. ábra. Szorzó GF (16) -ban

A GF(16) feletti szorzás hardware megvalósítása jóval bonyolultabb. Szerencsére a hibacsomókat javító kódolási és dekódolási eljárás során csak egyetlen, GF(q)-beli konstans elemmel történő szorzásra van szükség, és ez a művelet viszonylag egyszerű. A GF(16)-beli α^i és α^k közötti szorzást megvalósító általános hálózatot a 2. ábra mutatja. A „doboz” itt modulo 2 összeadók hálózatát tartalmazza. A mod 2 összeadók száma, kapcsolásuk és csatlakozásuk a szorzó áramkör be- és kimenetéhez a kombinációs hálózatoknál használt módszerekkel határozható meg. GF(16) esetén $A(k)$ függvény kiszámítható, az eredményt az 1. táblázat tartalmazza.

Észrevehetjük, hogy:

$$b_{k,0} = A(k)$$

$$b_{k,1} = A(k+3 \pmod{15})$$

$$b_{k,2} = A(k+2 \pmod{15})$$

$$b_{k,3} = A(k+1 \pmod{15}).$$

Ha például $k=12$, akkor

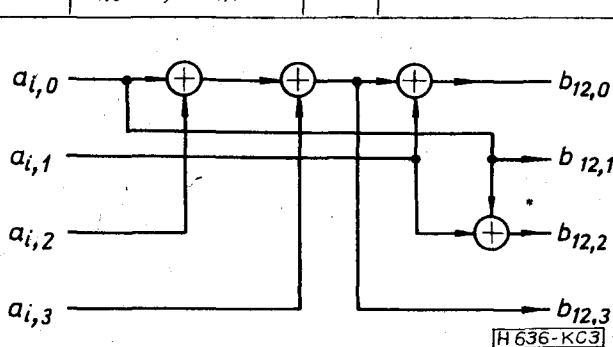
$$b_{12,0} = a_{i,0} + a_{i,1} + a_{i,2} + a_{i,3}$$

$$b_{12,1} = a_{i,0}$$

1. táblázat

Az $A(k)$ függvény GF(16)-ra

k	$A(k)$	k	$A(k)$
0	$a_{i,0}$	8	$a_{i,0} + a_{i,2}$
1	$a_{i,3}$	9	$a_{i,1} + a_{i,3}$
2	$a_{i,2}$	10	$a_{i,0} + a_{i,2} + a_{i,3}$
3	$a_{i,1}$	11	$a_{i,1} + a_{i,2} + a_{i,3}$
4	$a_{i,0} + a_{i,3}$	12	$a_{i,0} + a_{i,1} + a_{i,2} + a_{i,3}$
5	$a_{i,2} + a_{i,3}$	13	$a_{i,0} + a_{i,2} + a_{i,3}$
6	$a_{i,1} + a_{i,2}$	14	$a_{i,0} + a_{i,1}$
7	$a_{i,0} + a_{i,1} + a_{i,3}$		



3. ábra. GF (16)-ban α^{12} -nel szorzó kapcsolása

$$b_{12,2} = a_{i,0} + a_{i,1}$$

$$b_{12,3} = a_{i,0} + a_{i,2} + a_{i,3}.$$

Az α^{12} -nel szorzó áramkör a 3. ábrán látható.

A GF(16) test esetében a mod 2 összeadók száma 1-től 5-ig változhat. Belátható, hogy az áramkörök optimális megvalósításakor minimalizálási probléma is fellép.

5. A kódolási és dekódolási eljárás hardware megvalósítása

Az MSI és LSI áramkörök és a mikroprocesszorok alkalmazása bizonyára kiterjeszti a hibajavító módszerek alkalmazását a digitális átviteli rendszerekben és más információs rendszerekben is.

A kódoló és hibajavító áramkör egy a GF(q) feletti véges automata, amely a 4. ábrán látható elemekből épül fel.

A $g(x)$ generátorpolinom szerinti kódolót az 5. ábra mutatja.

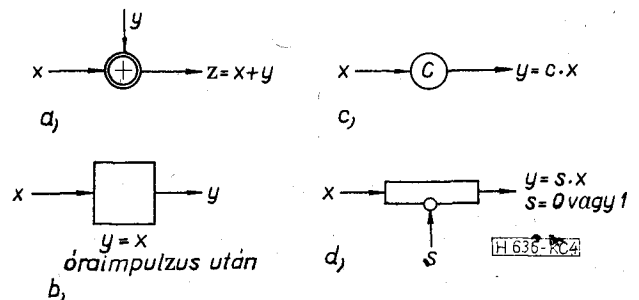
A kódoló k információs szimbólumot kap a forrástól, továbbítja azokat az átviteli csatornára és egyidejűleg a $g(x)$ generátorpolinomnak megfelelően visszacsatolt léptetőregiszterre. A k léptető jel ideje alatt a C vezérlő jel értéke 1, az 1. kapu nyit, a 2. kapu zár, az áramkör képi $R_g[f_i(x)]$ -et. k lépés után a számolás befejeződik, és a következő óraimpulzus hatására a kódoló kimenetén a kódvektor redundáns elemei lépnek ki.

Egy $h(x)$ paritáspolinom szerinti ekvivalens kódolót mutat a 6. ábra. Itt az információs elemek beolvasása után az áramkört n -szer léptetik. A kódoló kimenetén kilép k darab információs szimbólum, és az utolsó r szimbólum alkotja a kódvektor redundáns részét.

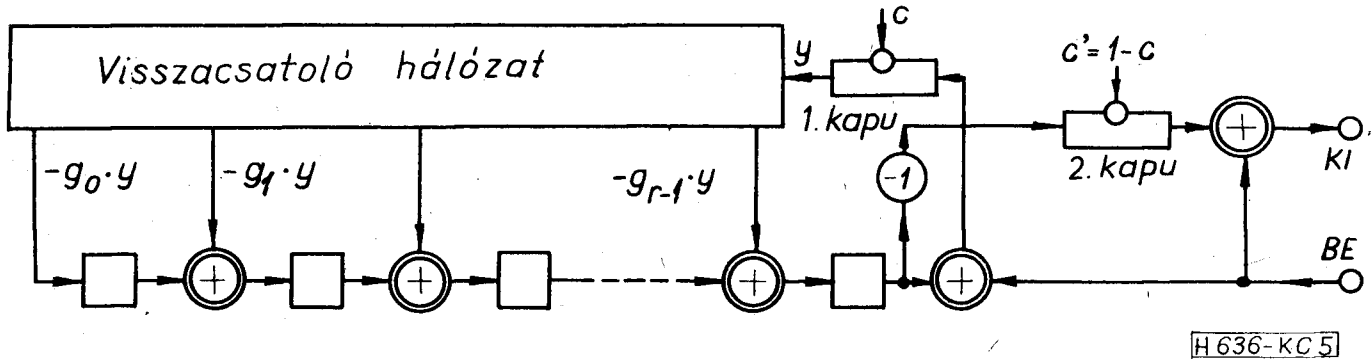
Nyilvánvaló, hogy a feltüntetett kódolóknak lehetnek egyéb, egyenértékű változatai is.

Az RS-kód általános dekódolójának vázlatát a 7. ábra mutatja. A hibajavító képességet a 3. fejezet tárgyalta, ám ez a dekódoló csak az információs elemek hibáit javítja, mivel a vevőben rendszerint nincs szükség a redundáns elemekre (természetesen a hibajavítás után).

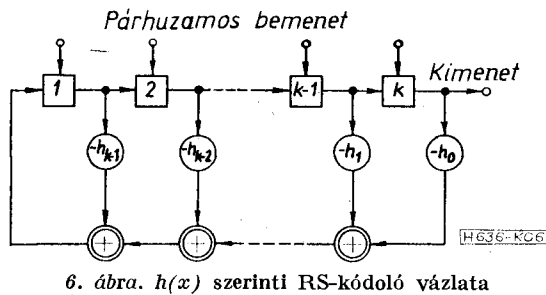
A dekódolási eljárás kétfázisú. Az első, n óraimpulzusnyi fázisban a felső regiszter n -szer, az alsó pedig k -szor lép. Így n óraimpulzus után az alsó regiszter tartalma a k információs szimbólum, a felsőé a szind-



4. ábra. RS-kódoló és -dekódoló áramkör elemel: a) összeadó GF (q) -ban, b) c-vel szorzó GF (q) -ban, c) memóriaelem, d) kapu



5. ábra. $g(x)$ szerinti RS-kódoló vázlata



6. ábra. $h(x)$ szerinti RS-kódoló vázlata

2. táblázat

A (15,9)-es IIS-kód GF(16) felett ekvivalens generátorpolinomjai

k	$g(x)$
1	$x^6 + \alpha^{10} \cdot x^5 + \alpha^{14} \cdot x^4 + \alpha^4 \cdot x^3 + \alpha^6 \cdot x^2 + \alpha^9 \cdot x + \alpha^6$
2	$x^6 + \alpha^5 \cdot x^5 + \alpha^{13} \cdot x^4 + \alpha^8 \cdot x^3 + \alpha^{12} \cdot x^2 + \alpha^3 \cdot x + \alpha^{12}$
4	$x^6 + \alpha^{10} \cdot x^5 + \alpha^{11} \cdot x^4 + \alpha \cdot x^3 + \alpha^9 \cdot x^2 + \alpha^8 \cdot x + \alpha^9$
7	$x^6 + \alpha^9 \cdot x^5 + \alpha^4 + \alpha^{14} \cdot x^3 + \alpha^4 \cdot x^2 + \alpha^2 \cdot x + \alpha^{12}$
8	$x^6 + \alpha^5 \cdot x^5 + \alpha^7 \cdot x^4 + \alpha^2 \cdot x^3 + \alpha^3 \cdot x^2 + \alpha^{12} \cdot x + \alpha^3$
11	$x^6 + \alpha^{12} \cdot x^5 + \alpha^4 + \alpha^7 \cdot x^3 + \alpha^2 \cdot x^2 + \alpha \cdot x + \alpha^6$
13	$x^6 + \alpha^6 \cdot x^5 + \alpha^4 + \alpha^{11} \cdot x^3 + \alpha \cdot x^2 + \alpha^8 \cdot x + \alpha^3$
14	$x^6 + \alpha^3 \cdot x^5 + \alpha^4 + \alpha^{13} \cdot x^3 + \alpha^8 \cdot x^2 + \alpha^4 \cdot x + \alpha^9$

róma lesz. Ez idő alatt a küszöbáramkör T kimenetén 1 lesz.

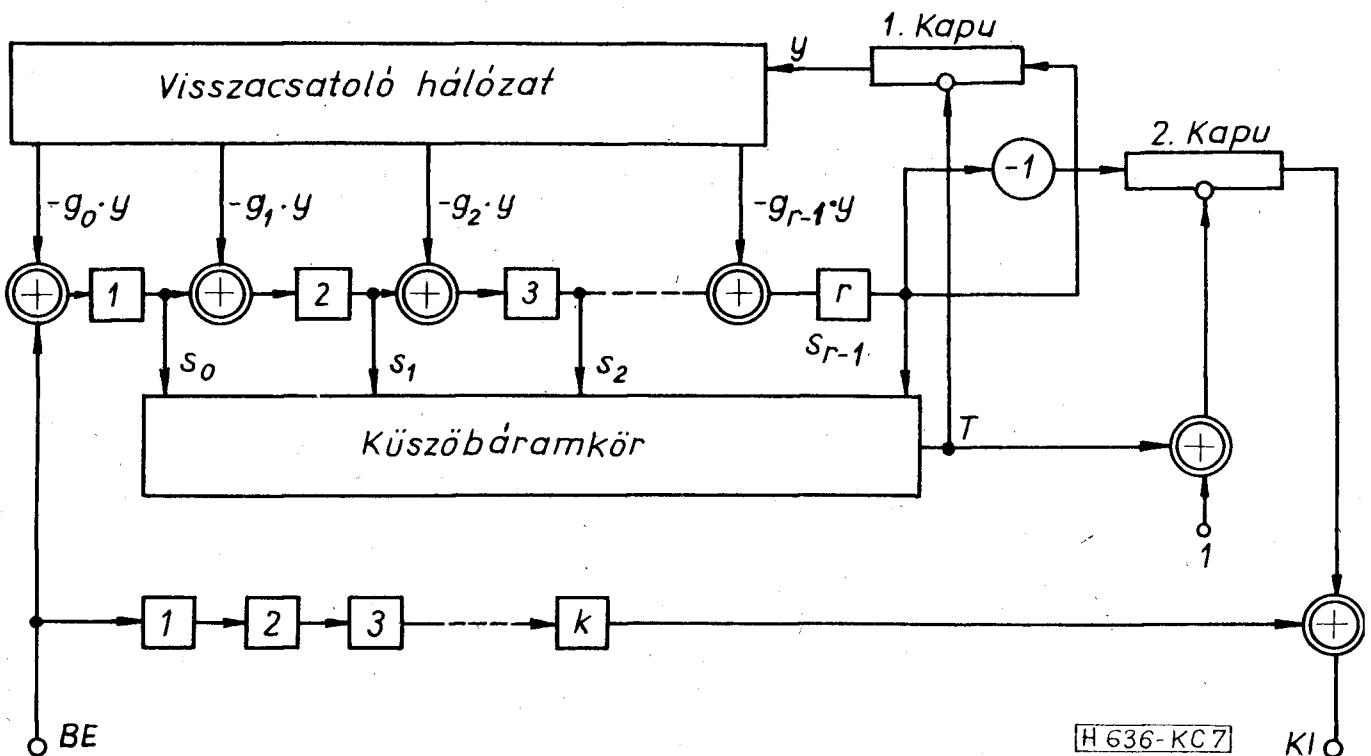
A dekódolás második fázisában, amely ismét n óraimpulzusnyi, a küszöbáramkör kimenete a szindróma súlyától függ:

$$T = \begin{cases} 1 & \text{ha } w(S_0) > t, \\ 0 & \text{ha } w(S_0) \leq t. \end{cases}$$

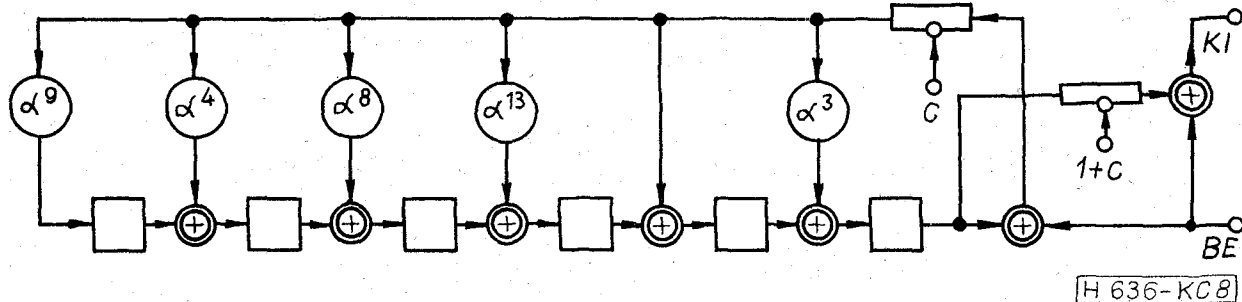
A felső regiszter most is n -szer lép, de az alsó csak az utolsó k alkalommal. Így az utolsó k lépésnél

a dekódoló kimenetén a javított információs szimbólumok jelennek meg.

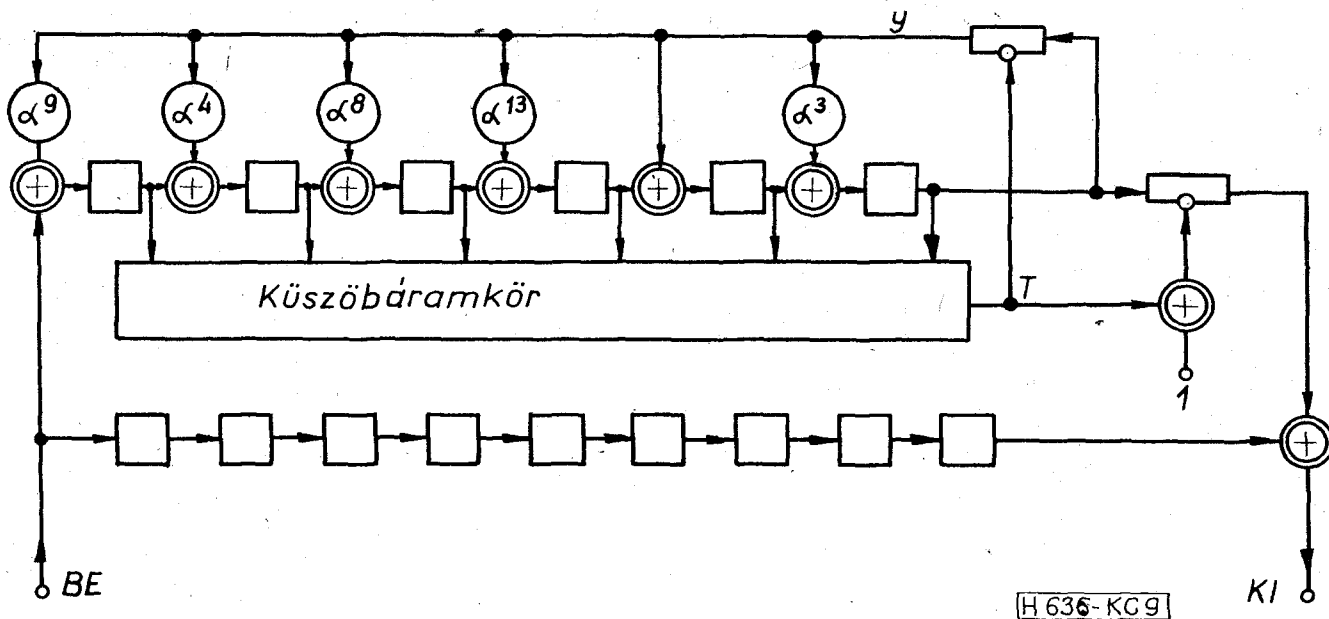
2. példa: A (15,9)-es RS-kód minimális távolsága $d=7$, kódolójának és dekódolójának megvalósítása.



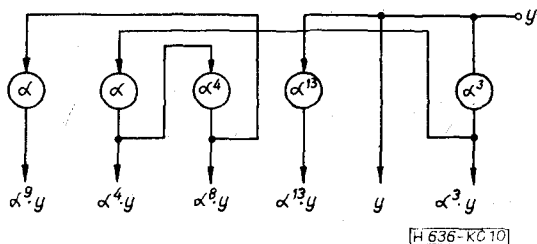
7. ábra. Hibaesomó-javító RS-kódoló általános vázlata



8. ábra. GF(16) feletti, (16,9)-es RS-kód dekódolója



9. ábra. GF(16) feletti, hibacsomó-javító, (16,9)-es RS-kód dekódolója



10. ábra. A 8. ábrán látható áramkör javasolt visszacsatoló hálózata

Összefoglalás

A cikk alapján megállapítható, hogy a kódolás-elmélet gyakorlati alkalmazása új és nem könnyű elméleti feladatokat vet fel. Ezek közül a legfontosabbak:

- a kódoló és dekódoló elemszámának minimalizálása,
- a kódolási és dekódolási eljárás számítógépes szimulációja,
- a kódoló és dekódoló áramkörök számítógéppel segített tervezése.

Végül ezúton fejezem ki hálás köszönetemet dr. Osváth Lászlónak a nyelvi segítségért, valamint dr. Gordos Géza docensnek, aki a BME Híradástechnikai Elektronika Intézetében töltött 3 hónap alatt kutatómunkámat és e cikk megírását mindenben támogatta.

IRODALOM

[1] Reiger, S. H.: Codes for the correction of clustered errors. IRE Transactions, IT-6, 1960
 [2] Szwaja, Z.: On step-by-step decoding of the BCH binary codes. IEEE Transactions, IT-13, 1967
 [3] Peterson, W. W.—Weldon, E. J.: Error-correcting codes. the MIT Press, 1972.